

КРАТКИЕ СООБЩЕНИЯ

УДК 547.422.22+66.011.001.57

КВАНТОВОХИМИЧЕСКИЙ РАСЧЕТ ВЗАИМОДЕЙСТВИЯ КАТИОНОВ С МОЛЕКУЛАМИ ВОДЫ И ЭТИЛЕНГЛИКОЛОМ

© 2007 А. Г. Рожкова*, Е. В. Бутырская, М. В. Рожкова, В. А. Шапошник

Воронежский государственный университет

Статья поступила 10 марта 2006 г.

Выполнено компьютерное моделирование структуры и ИК спектров систем этиленгликоль—9 молекул воды и этиленгликоль—9 молекул воды— M^+ , где $M^+ = Na^+, K^+$. Наличие катионов изменяет структуру гидратной оболочки этиленгликоля, что приводит к уменьшению энергии активации самодиффузии этиленгликоля в растворе с добавками солей по сравнению с ее значением в водно-гликоловом растворе.

Ключевые слова: гидратация, водный раствор этиленгликоля, водно-солевой раствор этиленгликоля, компьютерное моделирование.

Этиленгликоль (ЭГ) применяют в химической, текстильной, автомобильной, электротехнической промышленности. В процессе его использования образуются сточные воды, сброс которых без предварительного обезвреживания не допускается, так как этиленгликоль является токсичным веществом. В то же время этиленгликоль является ценным органическим соединением, которое имеет смысл извлечь из сточных вод с целью повторного использования. В сточных водах ЭГ содержится в смеси с минеральными солями, которые используются в технологическом процессе в качестве добавок. В работе [1] предложен метод разделения солей щелочных металлов и этиленгликоля диализом через ионообменные мембранны. Для исключения ионного обмена мембранны находились в ионной форме одного из ионов соли, отделяемой от незлектролита. В этом случае перенос ионов электролита через мембрану, особенно при низких его концентрациях, исключается за счет возникновения потенциала Доннана, а перенос незлектролита возможен.

В [1] показано, что присутствие солей щелочных металлов в разделяемом растворе в концентрации 0,01 моль/л увеличивает скорость переноса ЭГ через ионообменные мембранны по сравнению со скоростью его переноса из гликолового раствора в 1,6–2,1 раза. Мембранны ведут себя практически как идеально селективные: переноса минеральных солей через них не наблюдается, коэффициент разделения равен бесконечности.

При большем содержании солей щелочных металлов (0,02–0,30 моль/л) мембранны МК-40 и МА-41 также пропускают в большей степени незлектролит, чем электролит, коэффициент разделения больше 200. При концентрации электролита 0,40 моль/л коэффициент разделения снижается до 40, но все-таки остается достаточно хорошим, чтобы можно было использовать метод разделения ЭГ и электролитов диализом через ионообменные мембранны в практических целях.

В настоящей работе для объяснения этого явления выполнено компьютерное моделирование структуры репрезентативного фрагмента водно-гликолового и водно-солевого раствора ЭГ. Показано, что присутствие ионов щелочных металлов (Na^+, K^+) уменьшает энергию активации самодиффузии этиленгликоля по сравнению с ее значением в водно-гликоловом растворе.

Экспериментальная часть. В качестве элементарного звена водно-гликолового раствора была выбрана система этиленгликоль—9 молекул воды. На первом этапе была проведена оп-

* E-mail: rozkova_ann@mail.ru

тимизация молекулы этиленгликоля в *гоми*-форме, так как из литературных данных известно, что ЭГ в инертной среде находится практически нацело в *гоми*-форме [2]. Добавление молекул воды к оптимизированной структуре ЭГ проводили постепенно по 1 молекуле, начиная с их присоединения к группам ОН ЭГ. Такой подход соответствует случаю, когда ЭГ в *гоми*-форме добавляется в воду. Сначала формировалась первая гидратная сфера ЭГ, заполнение которой заканчивали, когда добавленная молекула воды в результате оптимизации выходила из первой сферы, что соответствовало началу формирования второй сферы. Молекулы воды в последующей начальной структуре присоединялись к молекулам воды структуры, полученной на предыдущем шаге. Группы CH_2 ЭГ являются гидрофобными и не образуют водородных связей с молекулами воды. Добавление молекул воды прекращали, когда это переставало влиять на частоты валентных колебаний группы ОН ЭГ, значение которых определяет энергию водородной связи ЭГ с молекулами воды. Для изучения гидратной структуры ЭГ в водно-солевом растворе было учтено, что при малой концентрации соли катион и анион находятся далеко друг от друга, и на первом этапе рассмотрены системы этиленгликоль—9 молекул воды— M^+ ($M = \text{Na}, \text{K}$). При этом в начальной структуре катион добавлялся к молекуле воды второй гидратной сферы ЭГ оптимизированной структуры этиленгликоль—9 молекул воды, поскольку целью работы было изучение водно-солевых растворов ЭГ с малой концентрацией соли, и нахождение катиона непосредственно около молекулы ЭГ маловероятно. Оптимизация структур этиленгликоль—9 молекул воды и этиленгликоль—9 молекул воды— Na^+ проведена с помощью программы GAUSSIAN-03 в базисе 6-31G методом функционала плотности B3LYP. При этом использовали 262 базисные функции и 512 примитивных гауссианов. Оптимизация структуры этиленгликоль—9 молекул воды— K^+ проведена с помощью программы GAUSSIAN-03 в базисе 3-21G методом Хартри-Фока с использованием 182 базисных функций и 306 примитивных гауссианов. Заметим, что сопоставление результатов неэмпирических расчетов, выполненных разными методами в разных базисах, является некорректным. Однако целью работы являлась оценка энергии водородной связи между ЭГ и молекулами воды, которую вычисляли исходя из рассчитанных частот ИК спектров исследованных структур. Для определения этих частот применяли масштабирующие множители, рекомендованные разработчиками программы GAUSSIAN и индивидуальные для каждого метода и каждого базиса. Эти множители учитывают разную величину ошибки при использовании различных квантовохимических уровней расчета и делают сравнение результатов расчета правомерным [3].

Различный квантовохимический уровень описания исследуемых систем обусловлен тем, что атом калия является многоэлектронным и для оптимизации структур, включающих этот атом, "хороший" базис 6-31G не применим. При выборе метода и базиса для каждой системы мы руководствовались соображениями получить максимально хорошую оптимизированную структуру при приемлемом времени расчета.

Для всех структур выполняли проверку соответствия оптимизированной структуры локальному минимуму, заключавшуюся в отсутствии мнимых частот в рассчитанном ИК спектре.

Визуализация оптимизированных структур рассчитанных систем представлена на рис. 1 и 2. Расстояния между атомами и ионами в оптимизированных структурах представлены в табл. 1 и 2.

Анализ результатов. Длины связей С—С, С—Н и О—Н в молекуле ЭГ в оптимизированных структурах получились равными 1,528, 1,096, 0,993 Å соответственно, что близко к экспериментальным данным [4].

Расстояния между атомами в оптимизированной структуре этиленгликоль—9 молекул воды, характеризующие гидратацию этиленгликоля, приведены в табл. 1. Данные таблицы и рис. 1, на котором представлена оптимизированная структура системы этиленгликоль—9 молекул воды, показывают, что каждая группа ОН ЭГ гидратирована и образует водородные связи с двумя молекулами воды, кроме того молекулы воды образуют водородные связи между собой. Расположение молекул воды относительно друг друга и групп ОН этиленгликоля такое, что связи О—Н…О близки к линейным. Длины водородных связей между ОН группой ЭГ и молекулами воды равны в среднем 2,782 Å, что несколько больше, чем длины водородных

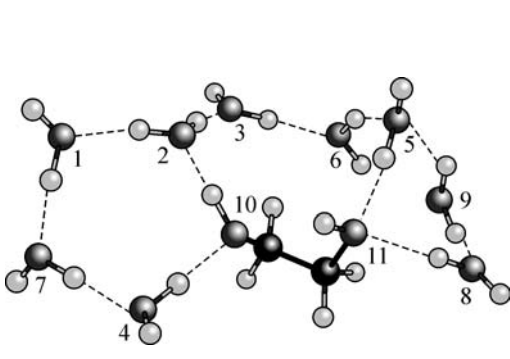


Рис. 1. Оптимизированная структура системы этиленгликоль—9 молекул воды. Цифрами обозначены атомы кислорода

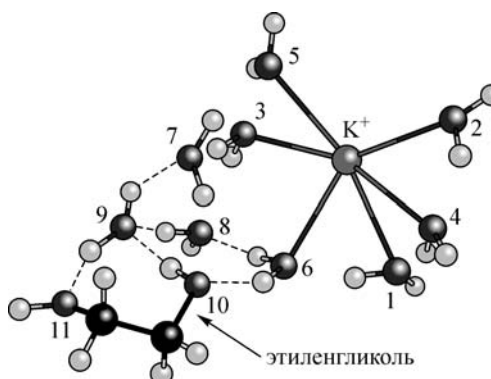


Рис. 2. Оптимизированная структура системы этиленгликоль—9 молекул воды— K^+ . Цифрами обозначены атомы кислорода

связей, образующихся между молекулами воды 2,707. Это говорит о том, что этиленгликоль, являясь крупной молекулой, разрушает структуру воды, подобно ионам с отрицательным типом гидратации.

При добавлении в систему катионов Na^+ (K^+) структура существенно меняется (см. рис. 2). Катионы натрия (калия) образуют из имеющихся молекул воды первую гидратную оболочку (6 молекул). Это приводит к тому, что водородная связь между группой OH ЭГ и ближайшими молекулами воды несколько ослабляется вследствие того, что этиленгликоль является крупной

Таблица 1

Длины водородных связей $\text{O}\cdots\text{O}$ (Å) в оптимизированной структуре этиленгликоль—9 молекул воды, характеризующие гидратацию и внутримолекулярную водородную связь в этиленгликоле

Н-связь	Расстояние	Н-связь	Расстояние	Н-связь	Расстояние	Н-связь	Расстояние
$\text{O}_{(11)}\cdots\text{O}_{(8)}$	2,771	$\text{O}_{(6)}\cdots\text{O}_{(3)}$	2,642	$\text{O}_{(10)}\cdots\text{O}_{(4)}$	2,726	$\text{O}_{(1)}\cdots\text{O}_{(7)}$	2,707
$\text{O}_{(11)}\cdots\text{O}_{(5)}$	3,009	$\text{O}_{(3)}\cdots\text{O}_{(2)}$	2,675	$\text{O}_{(8)}\cdots\text{O}_{(9)}$	2,755	$\text{O}_{(7)}\cdots\text{O}_{(4)}$	2,718
$\text{O}_{(10)}\cdots\text{O}_{(2)}$	2,623	$\text{O}_{(2)}\cdots\text{O}_{(1)}$	2,696	$\text{O}_{(5)}\cdots\text{O}_{(6)}$	2,755	$\text{O}_{(10)}\cdots\text{O}_{(11)}$	2,661

Таблица 2

Расстояния между атомами и ионами (Å) в оптимизированной структуре этиленгликоль—9 молекул воды— M^+ ($\text{M}^+ = \text{Na}^+, \text{K}^+$), характеризующие гидратацию ЭГ и катионов

Расстояние катион—кислород первой сферы				Длина водородной связи, характеризующей гидратацию ЭГ	
Структура	Расстояние	Структура	Расстояние	Н-связь	Расстояние
$\text{M}^+-\text{O}_{(1)}$	2,287 ¹	$\text{M}^+-\text{O}_{(4)}$	2,518 ¹	$\text{O}_{(11)}\cdots\text{O}_{(9)}$	2,740 ¹
	2,908 ²		2,819 ²		2,648 ²
$\text{M}^+-\text{O}_{(2)}$	2,406 ¹	$\text{M}^+-\text{O}_{(5)}$	3,292 ¹	$\text{O}_{(10)}\cdots\text{O}_{(6)}$	2,793 ¹
	2,562 ²		2,839 ²		2,715 ²
$\text{M}^+-\text{O}_{(3)}$	2,362 ¹	$\text{M}^+-\text{O}_{(6)}$	2,328 ¹	$\text{O}_{(10)}\cdots\text{O}_{(9)}$	2,650 ¹
	2,748 ²		2,865 ²		2,663 ²
				$\text{O}_{(10)}\cdots\text{O}_{(7)}$	2,778 ¹
					2,777 ²

¹ Na^+ -форма.

² K^+ -форма.

молекулой, а катион оказывает ориентирующее действие на молекулы воды. Происходит искашение связи O—H···O (O—H относится к ЭГ), она не является линейной, среднее значение угла O—H···O для структуры с Na^+ составляет $150\text{---}165^\circ$, а для структуры с K^+ — $145\text{---}160^\circ$. Это говорит о том, что катион калия сильнее разрушает структуру воды, чем катион натрия, что соответствует отрицательному типу гидратации K^+ и положительному типу гидратации Na^+ . Расстояния между атомами и ионами в оптимизированных структурах, характеризующие гидратацию ЭГ и катионов, приведены в табл. 2. Во всех рассчитанных структурах ЭГ находится в *гомо*-форме, что соответствует выводам, полученным в работах [5—8].

Для элементарного транспортного акта этиленгликоля необходимо разорвать водородную связь между ЭГ и водой, энергия разрыва самой слабой из этих водородных связей может быть принята за энергию активации самодиффузии ЭГ в водном (водно-солевом растворе). Проведен сравнительный анализ энергии водородных связей между ЭГ и молекулами воды в рассчитанных структурах. Расчет энергии водородных связей проводили по формуле:

$$\varepsilon_H = 62,5 \frac{\Delta v}{v_0^{\text{OH}}} \left(\frac{\text{ккал}}{\text{моль}} \right), \quad (1)$$

где Δv — смещение частоты валентного OH колебания связанного водородной связью относительно частоты колебания OH v_0^{OH} свободной молекулы воды. Для применения этой формулы с использованием программы GAUSSIAN-03 были рассчитаны ИК спектры всех исследуемых структур. Энергии самых слабых водородных связей между ЭГ и молекулами воды (энергии активации самодиффузии ЭГ) получились равными: 4,25 ккал/моль для структуры системы ЭГ—9 молекул воды, 3,76 ккал/моль для структуры системы ЭГ—9 молекул воды— Na^+ , 3,43 ккал/моль для структуры ЭГ—9 молекул воды— K^+ .

Как показал расчет, при введении в структуру катионов щелочных металлов энергия водородной связи, образующейся между этиленгликолем и молекулами воды, снижается, причем для калиевой формы это снижение больше, чем для натриевой формы. Это полуколичественно объясняет увеличение подвижности ЭГ в водно-солевых растворах по сравнению с чистой водой, причем для K^+ -формы подвижность больше, чем для Na^+ -формы. Транспорт ЭГ в ионообменных системах также можно представить как последовательность образования и разрыва водородных связей между ЭГ и молекулами воды. Наличие ионов в ионообменнике ослабляет эту связь и увеличивает скорость переноса ЭГ через ионообменник.

СПИСОК ЛИТЕРАТУРЫ

1. Рожкова М.В., Боев Ю.Ю., Образцов А.А. // Сорбционные и хроматографические процессы. – 2001. – Т. 1, Вып. 5. – С. 898 – 902.
2. Архипенко Н.В., Кийко С.М. // Журн. физ. химии. – 2005. – **79**, № 2. – С. 374 – 376.
3. Foresman J.B., Frisch A. // Pittsburgh: Gaussian Inc., 1995.
4. Проновский И.Г., Назаренко Ю.П., Некряч Е.Г. Краткий справочник по химии. – Киев: Наукова думка, 1987.
5. Podo F., Nemethy G. // Mol. Phyz. – 1974. – **27**, N 2. – P. 521 – 523.
6. Харитонов Ю.Я., Киреева И.К., Горячев А.Н. // Координац. химия. – 1975. – 1, № 8. – С. 1118 – 1133.
7. Королевич М.В., Сивчик В.В., Матвеева М.А. // Журн. прикл. спектроскоп. – 1987. – **46**, № 4. – С. 620 – 624.
8. Родникова М.Н., Носова Т.А., Маркова В.Г., Дудникова К.Т. // Докл. АН – 1992. – **327**, № 1. – С. 96 – 99.